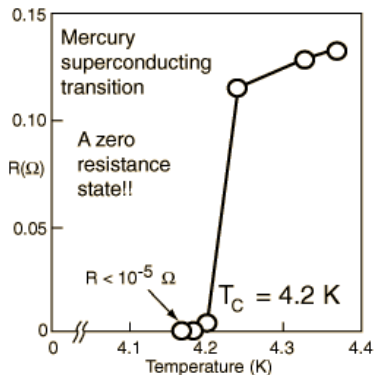
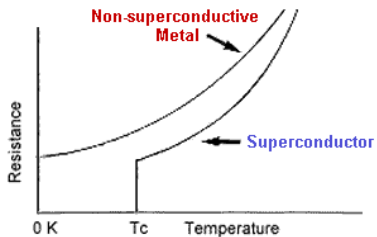


# 第八章 超导电性

- 8.1 超导体的发现
- 8.2 超导体的热力学性质
- 8.3 London 定理：超导唯象理论
- 8.4 Type II 超导体
- 8.5 BCS 理论
- 8.6 Ginzburg-Landau 理论
- 8.7 磁通量子化
- 8.8 Josephson 效应
- 8.9 非常规超导
- 8.10 超导的应用

## 8.1 超导体的发现

1911 年：零电阻



# Motivation

D. K. Delft & P. Kes, “The discovery of superconductivity”,  
Phys. Today 2010 Sept., 38

“Door meten tot weten”

“Through measurement to knowledge”

- 三种可能的低温电阻行为
  - Kelvin:  $T \rightarrow 0$  电子冻结, 不能导电  $R \rightarrow \infty$
  - Dewar:  $T \rightarrow 0$  没有损耗,  $R \rightarrow 0$
  - Matthieson: 杂质导致残余损耗,  $R \rightarrow R(0) \neq 0$
- 已知良导体例如金、银在低温下都显示出有杂质导致的残余电阻
- 水银容易提纯, 在  $T = 14 \text{ K}$  时仍无平缓的趋势

# 发现过程

1911 年 4 月 8 日：两种超流现象

- $T = 3 \text{ K}$ : 超导

“[The resistivity of] Mercury practically zero.”

电导为零是突变，不是 Dewar 预言的渐变

5 月 23 日：“At 4.00 not yet anything to notice of rising resistance. At 4.05 not yet either. At 4.12 resistance begins to appear.”

- $T = 1.8 \text{ K}$ :  $^4\text{He}$  II 超流

“Just before the lowest temperature was reached, the boiling suddenly stopped and was replaced by evaporation in which the liquid visibly shrank. So, a remarkably strong evaporation at the surface.”

## Persistent current: How zero is zero resistivity?

$R = U/I$ : April 1911,  $R/R_0 < 10^{-5}$ ; May 1911,  $R/R_0 < 10^{-7}$ .

Current in a ring:  $I = I_0 e^{-Rt/L} = I_0 e^{-t/\tau_R}$

- Onnes, April 24th, 1914  
Lead, “During an hour, the current [0.6 A] was observed not to decrease perceptibly.”
- J. Fill & R. G. Mills, “Observation of persistent current in a superconductor solenoid”, PRL 10, 93 (1963),
- R. F. Broom, “An Upper limit for the Resistivity of a Superconducting Film”, Nature 190, 992 (1961)
- Varlamov and Aslamazov, “The wonders of physics”

## Persistent current: How zero is zero resistivity?

$R = U/I$ : April 1911,  $R/R_0 < 10^{-5}$ ; May 1911,  $R/R_0 < 10^{-7}$ .

Current in a ring:  $I = I_0 e^{-Rt/L} = I_0 e^{-t/\tau_R}$

- Onnes, April 24th, 1914
- J. Fill & R. G. Mills, “Observation of persistent current in a superconductor solenoid”, PRL 10, 93 (1963), NiZr alloy,  $R = 7 \times 10^{-15} \Omega$ ,  $\rho = 4 \times 10^{-22} \Omega \cdot \text{cm} \sim 10^{-16} \rho_{Ag}$ .  
经过大约 1500 小时，电流没有明显减小。电流的衰减时间超过十万年。
- R. F. Broom, “An Upper limit for the Resistivity of a Superconducting Film”, Nature 190, 992 (1961)
- Varlamov and Aslamazov, “The wonders of physics”

## Persistent current: How zero is zero resistivity?

$R = U/I$ : April 1911,  $R/R_0 < 10^{-5}$ ; May 1911,  $R/R_0 < 10^{-7}$ .

Current in a ring:  $I = I_0 e^{-Rt/L} = I_0 e^{-t/\tau_R}$

- Onnes, April 24th, 1914
- J. Fill & R. G. Mills, "Observation of persistent current in a superconductor solenoid", PRL 10, 93 (1963),
- R. F. Broom, "An Upper limit for the Resistivity of a Superconducting Film", Nature 190, 992 (1961)

The best known is that carried out by Collins, in which a **persistent current of several hundred amperes was maintained in a lead ring for two and a half years. At the end of this time there was no measurable decrease in the magnitude of the current.** The resistance of the ring is quoted by Crowe as less than  $10^{-21}$  ohm, but no figure for the resistivity of the lead is given.

- Varlamov and Aslamazov, "The wonders of physics"

## Persistent current: How zero is zero resistivity?

$R = U/I$ : April 1911,  $R/R_0 < 10^{-5}$ ; May 1911,  $R/R_0 < 10^{-7}$ .

Current in a ring:  $I = I_0 e^{-Rt/L} = I_0 e^{-t/\tau_R}$

- Onnes, April 24th, 1914
- J. Fill & R. G. Mills, “Observation of persistent current in a superconductor solenoid”, PRL 10, 93 (1963),
- R. F. Broom, “An Upper limit for the Resistivity of a Superconducting Film”, Nature 190, 992 (1961)
- Varlamov and Aslamazov, “The wonders of physics”  
“The maximal duration of a nondamped superconducting current recorded in England as about two years. (The current in the ring would have circulated up till now (1987) but for a strike of transport workers which caused a break in the supply of liquid helium to the laboratory.) **Even after the two years, no damping of the current was detected.**”



# 元素超导电性

|                   | IA    | IIA           | IIIB         | IVB            | VB            | VIB               | VII B          | VIII          | VIII               | IB             | IIB   | IIIA           | IVA           | VA            | VIA    | VIIA   | 0              |       |
|-------------------|-------|---------------|--------------|----------------|---------------|-------------------|----------------|---------------|--------------------|----------------|-------|----------------|---------------|---------------|--------|--------|----------------|-------|
| 1                 | H     |               |              |                |               |                   |                |               |                    |                |       |                |               |               |        |        | 2 He           |       |
| 2                 | 3 Li  | 4 Be<br>0.026 |              |                |               |                   |                |               |                    |                |       | 5 B            | 6 C           | 7 N           | 8 O    | 9 F    | 10 Ne          |       |
| 3                 | 11 Na | 12 Mg         |              |                |               |                   |                |               |                    |                |       | 13 Al<br>1.175 | 14 Si         | 15 P          | 16 S   | 17 Cl  | 18 Ar          |       |
| 4                 | 19 K  | 20 Ca         | 21 Sc        | 22 Ti<br>0.40  | 23 V<br>5.40  | 24 Cr             | 25 Mn          | 26 Fe         | 27 Co              | 28 Ni          | 29 Cu | 30 Zn<br>0.85  | 31 Ga<br>1.10 | 32 Ge         | 33 As  | 34 Se  | 35 Br          | 36 Kr |
| 5                 | 37 Rb | 38 Sr         | 39 Y         | 40 Zr<br>0.61  | 41 Nb<br>9.25 | 42 Mo<br>0.912    | 43 Tc<br>7.80  | 44 Ru<br>0.49 | 45 Rh<br>0.0003    | 46 Pd          | 47 Ag | 48 Cd<br>0.517 | 49 In<br>3.4  | 50 Sn<br>3.72 | 51 Sb  | 52 Te  | 53 I           | 54 Xe |
| 6                 | 55 Cs | 56 Ba         | 57 La<br>4.8 | 58 Hf<br>0.128 | 59 Ta<br>4.47 | 60 W<br>0.154     | 61 Re<br>1.687 | 62 Os<br>0.68 | 63 Ir<br>0.113     | 64 Pt<br>0.019 | 65 Au | 66 Hg<br>4.15  | 67 Tl<br>1.70 | 68 Pb<br>7.2  | 69 Bi  | 70 Po  | 71 At          | 72 Rn |
| 7                 | 87 Fr | 88 Ra         | 89 Ac        |                |               |                   |                |               |                    |                |       |                |               |               |        |        |                |       |
| Lanthanide Series |       |               |              | 58 Ce          | 59 Pr         | 60 Nd             | 61 Pm          | 62 Sm         | 63 Eu              | 64 Gd<br>1.083 | 65 Tb | 66 Dy          | 67 Ho         | 68 Er         | 69 Tm  | 70 Yb  | 71 Lu<br>0.100 |       |
| Actinide Series   |       |               |              | 90 Th<br>1.38  | 91 Pa<br>1.4  | 92 U<br>0.81, 1.8 | 93 Np          | 94 Pu         | 95 Am<br>1.1, 1.79 | 96 Cm          | 97 Bk | 98 Cf          | 99 Es         | 100 Fm        | 101 Md | 102 No | 103 Lr         |       |

Legend

|               |   |         |
|---------------|---|---------|
| Atomic Number | } | Type I  |
| Symbol        |   |         |
| $T_c$ (K)     |   | Type II |

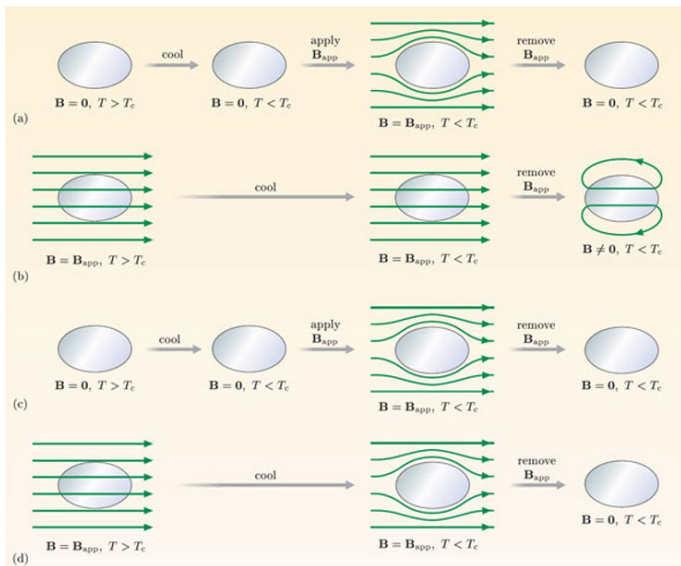
Superconductor at ambient pressure

Superconductor under high pressure

# 超导体的反常特点

- 零电阻
  - 持续电流: Persistent current
  - 临界电流
  - 恒定磁通: Constant magnetic flux
- 不良导体（包括合金）超导，良导体反而不超导
  - ☞ 原本不超导的元素的合金可以超导
- 临界磁场、临界电流
- 低热导：电导无穷大，热导本应该也是无穷大  
Wiedemann-Franz law:  $\kappa = \frac{\pi^2 k_B^2}{3e^2} T \sigma$
- 低热电效应:  $\epsilon = 0$
- 热容
- Meissner 效应

# Meissner 效应：完美抗磁体



完美导体 ( $R = 0$ ):  
完美的动态抗磁性

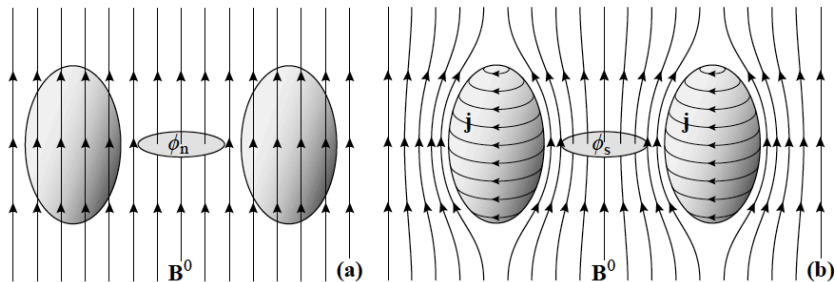
先降温从正常导体  
变为完美导体，再  
加磁场：体内无磁  
场

先加磁场，再降温：  
体内有磁场

超导体：完美的抗  
磁性(动态 / 静态)

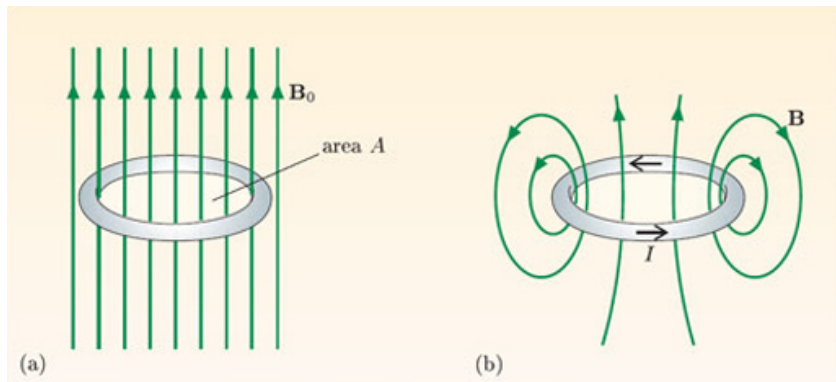
体内始终没有磁场

# Meissner 效应: Ochsenfeld 实验



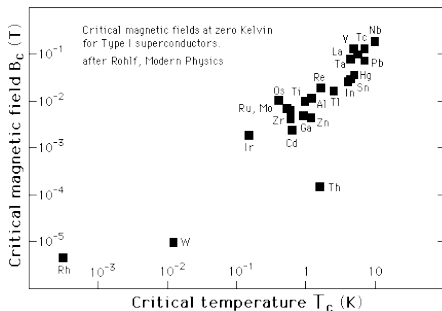
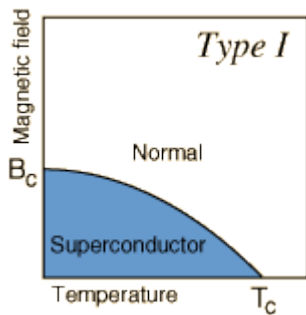
# Meissner 效应

- 超导体中  $B = 0$  和过程无关，是一个热力学性质  
 $G_n(T, H = 0) - G_S(T, H = 0) = \mu_0 H_c^2(T)/2$
- Meissner 效应的发现启发 Fritz and Heinz London 兄弟提出双流体模型，这是第一个成功的唯象理论
- Meissner 效应是比零电阻更为基本的超导体特征  
超导体不是完美导体，而是完美抗磁体！



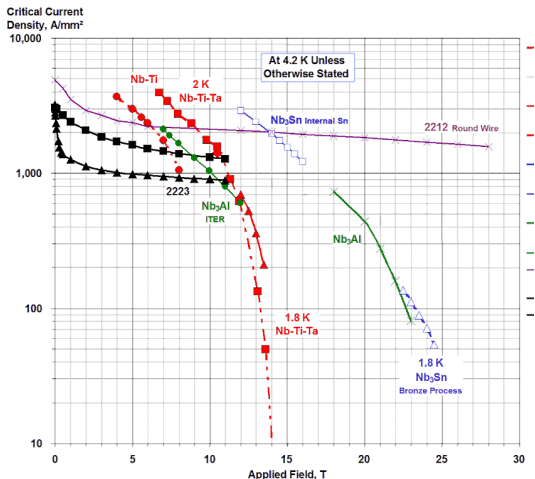
## 8.2 超导体的热力学性质

### 临界磁场



$$H_c(T) = H_c(0) [1 - (T/T_c)^2]$$

# 临界电流



Silsbee: Critical current is the current necessary to produce the critical magnetic field at the surface

# 超导体的热力学性质

单位体积非磁性金属

$$dG = -SdT - \mu_0 M dH$$

$$M = \begin{cases} 0 & \text{正常态} \\ -H & \text{超导态} \end{cases}$$

Meissner 效应:  $B = \mu_0(H + M) = 0$

$$G(T, H) = \begin{cases} = G_N(T, H) = G_N(T, 0) & \text{正常态} \\ = G_S(T, H) = G_S(T, 0) + \frac{1}{2}\mu_0 H^2 & \text{超导态} \end{cases}$$

$$G_N(T, H_c) = G_S(T, H_c) \quad \text{两相共存条件}$$

$$G_N(T, 0) = G_S(T, 0) + \frac{1}{2}\mu_0 H_c^2(T)$$



# 超导体的热力学性质

单位体积非磁性金属

$$S_N(T=0, H) = -\left(\frac{\partial G_N}{\partial T}\right)_H = -\frac{dG_N(T, 0)}{dT} \quad \text{热力学第三定律}$$

$$= S_S(T=0, H) = -\left(\frac{\partial G_S}{\partial T}\right)_H = -\frac{dG_N}{dT} + \mu_0 H_c \frac{dH_c}{dT}$$

$$\Rightarrow \frac{dH_c(0)}{dT} = 0 \quad \Rightarrow H_c(T) = a + bT^2 + \dots$$

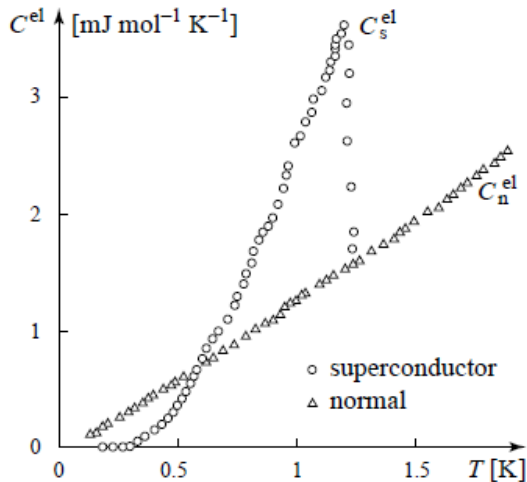
$$\Rightarrow H_c(T_c) = 0$$

$$\Rightarrow H_c(T) = H_c(0)[1 - (T/T_c)^2]$$

$$C_S = T \frac{\partial S_S}{\partial T} = -T \frac{d^2 G_N}{dT^2} + T \mu_0 H_c \frac{d^2 H_c}{dT^2} + T \mu_0 \left(\frac{dH_c}{dT}\right)^2$$

$$\Delta C(T_c) = 4T_c \mu_0 H_c(0)^2$$

# 超导体的热力学性质



超导 vs 正常铝的  
电子热容

## 8.3 London 定理：超导唯象理论

### ● 零电阻

$$\frac{\partial \mathbf{J}}{\partial t} = \frac{n_s e^2}{m} \mathbf{E} - \frac{\mathbf{J}}{\tau} = \frac{n_s e^2}{m} \mathbf{E}$$

$$\frac{\partial}{\partial t} (\nabla \times \mathbf{J}) = \nabla \times \frac{\partial \mathbf{J}}{\partial t} = \nabla \times \frac{n_s e^2}{m} \mathbf{E} = \frac{n_s e^2}{m} \nabla \times \mathbf{E}$$

$$= \frac{n_s e^2}{m} \left( -\frac{\partial \mathbf{B}}{\partial t} \right)$$

$$\frac{\partial}{\partial t} \left\{ \nabla \times \mathbf{J} + \frac{n_s e^2}{m} \mathbf{B} \right\} = 0$$

$$\nabla \times \mathbf{J} + \frac{n_s e^2}{m} \mathbf{B} = \text{const in time}$$

### ● Meissener 效应

$$\nabla \times \mathbf{J} + \frac{n_s e^2}{m} \mathbf{B} = 0 \rightarrow \nabla \times \mathbf{J} = -\frac{n_s e^2}{m} \mathbf{B}$$

$$\mathbf{B} = \nabla \times \mathbf{A} \rightarrow \mathbf{J} = -\frac{n_s e^2}{m} \mathbf{A} \quad \text{规范不变?}$$

## Meissner 效应: 有质量的电磁波

$$\mu_0 \mathbf{J} = \nabla \times \mathbf{B}$$

$$\mu_0 \nabla \times \mathbf{J} = \nabla \times \nabla \times \mathbf{B}$$

$$-\mu_0 \frac{n_s e^2}{m} \mathbf{B} = \nabla(\nabla \cdot \mathbf{B}) - \nabla^2 \mathbf{B}$$

$$\nabla^2 \mathbf{B} = \frac{1}{\lambda_L^2} \mathbf{B} \quad \lambda_L = \sqrt{m / (\mu_0 n_s e^2)}$$

$$\mathbf{B}(z) = \mathbf{B}(0) e^{-z/\lambda_L} \quad \text{穿透长度}$$

超导体中的 Maxwell 方程

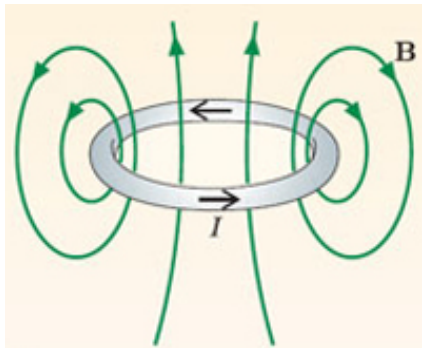
$$\nabla^2 \mathbf{B} - \frac{1}{c^2} \frac{\partial^2 \mathbf{B}}{\partial t^2} = \frac{1}{\lambda_L^2} \mathbf{B} \quad \text{有质量的电磁波}$$

$$\nabla^2 \mathbf{B} - \frac{1}{c^2} \frac{\partial^2 \mathbf{B}}{\partial t^2} = 0 \quad \text{无质量的电磁波}$$

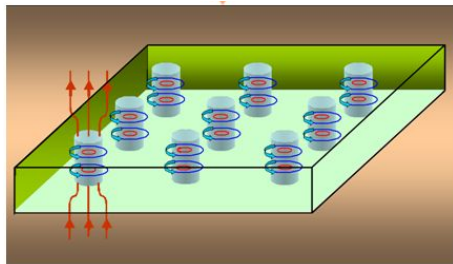
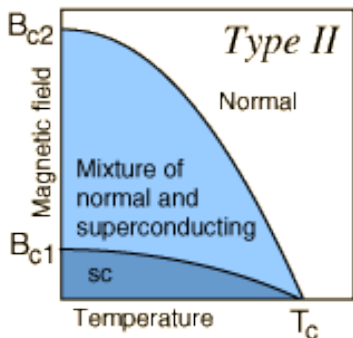
真空的 Maxwell 方程

## Meissner 效应 ⇨ 电导率为零

- 导体环中电流减小，其感应磁场也应该减小
- 正常导体散射导致电流减小 ⇨ 磁力线/磁通移动，通过导体环移出环 ⇨ 磁场减小
- 超导环 Meissner 效应 ⇨ 磁力线/磁通无法穿过超导环 ⇨ 线圈内的磁场无法降低 ⇨ 电流不能减小
- 发生超导转变之后，散射并不消失，仍然起作用
- 散射降低电子速度，磁力线向超导环表面移动 ⇨ 超导环排斥磁力线，使之向内移动，产生一个感应电场 ⇨ 加速电子，保持电子速度不变，因此电流不变



## Type II 超导体



- 1935, Rjabinin and Shubnikov 发现某些超导体有两个临界磁场
- 1952, Abrikosov “预言”了 Type II 超导体，磁通点阵涡旋态形成的量子化磁通
- Flux pinning

## Flux pinning by impurity

- 有电流通过时，自由空间中的磁力线被推动，沿垂直电流方向移动  $\Leftarrow$  类似香蕉球
- 磁力线移动会消耗能量，产生热
- 有缺陷的时候，磁力线会被固定在缺陷附近，不能移动
  - ☞ flux pinning
  - $G^{\text{vortex}} = \pi\mu_0(\xi^2 H_c^2 - \lambda^2 H^2)$
  - 杂质使得  $\xi$  减小 ( $1/\xi = 1/\xi_0 + 1/l$ )
  - ☞ 在杂质附近 vortex 能量较低。
- 在具有 flux pinning 的样品里，可以存在高临界电流和临界磁场
- 稳定的磁悬浮



## 8.5 BCS 理论

### 失败者

- Einstein  
Molecular conduction chains
- Kronig  
electron crystal
- Bloch and Landau  
spontaneous current
- Bohr  
coherent electron-lattice motion
- London brothers  
Two-fluid model

Bloch's second theorem of superconductivity:  
Every theory of superconductivity can be disproved.



## 更多的失败者

普遍共识：超导体不可能是单粒子效应，是很多粒子一起产生的宏观量子体系，相互作用至关重要。

- Heisenberg: 相互作用导致电子局域化，形成单电子束缚态
- Born: 相互作用导致 Brillouin 边界电子能量改变，单电子能谱出现局域极小
- F. London: 交换作用导致动量空间的吸引作用，形成电子对
- Bardeen: 电声子作用导致晶格畸变，改变能带，大大减小有效质量 → 大 Landau 抗磁性 → Meissner 效应
- Bardeen and Fröhlich: 声子中介的电子作用可以是相互吸引的
- Feynman: 从 Bardeen 和 Fröhlich 结果出发，利用微扰论处理，未取得成功

“... I warn you before you start, one comes up finally to a terrible shock; one discovers that he is too stupid to solve the problem [of superconductivity]. ”

# 超导微观理论的困难和线索

## ● 难点

- 巨大的能量跨度  
费米能  $\sim$  库仑相互作用  $\sim 1\text{eV} \sim 10^{4-5}\text{K}$   
声子能量  $\sim \hbar\omega_D \sim 10^{2-3}\text{K}$   
超导温度  $\sim 1\text{K}$
- 相互作用：多体问题

## ● 线索

- 超导电性是一个普遍存在的现象  
与晶格结构等微观细节无关
- 超导相变前后电子波函数发生了质的变化  
驱动这种变化的原因同样与晶格结构等微观细节无关
- 超导体的热容结果暗示着存在能隙
- 同位素效应 ( $\sqrt{MT_c} = \text{const}$ ) 暗示超导电性和电声子相互作用有关

## Meissner 效应：超导能隙存在的间接证据

波函数的“刚性”

$$\begin{aligned}\mathbf{J} &= \frac{-e}{2m} \left\{ \psi^* (-i\hbar\nabla + e\mathbf{A})\psi + [(-i\hbar\nabla + e\mathbf{A})\psi]^* \psi \right\} \\ &= \frac{ie\hbar}{2m} [\psi^* \nabla \psi - (\nabla \psi^*) \psi] - \frac{e^2}{m} \mathbf{A} \psi^* \psi\end{aligned}$$

没有外场时  $\mathbf{A} = 0$ ，波函数为  $\psi_0$ ，电流为零

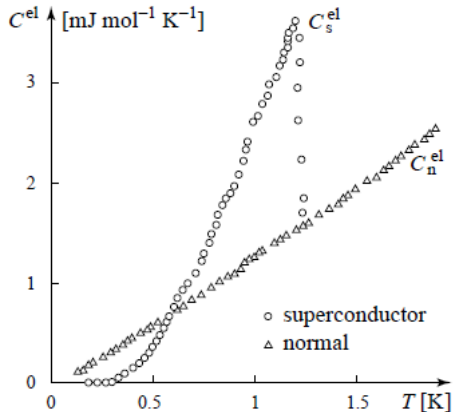
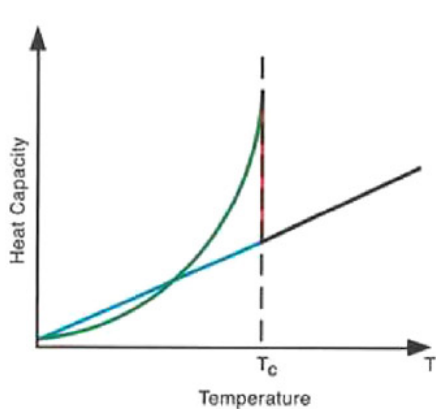
$$0 = \frac{-e}{2m} \left\{ \psi_0^* (-i\hbar\nabla) \psi_0 + [(-i\hbar\nabla) \psi_0]^* \psi_0 \right\} = \frac{ie\hbar}{2m} [\psi_0^* \nabla \psi_0 - (\nabla \psi_0^*) \psi_0]$$

存在外场时， $\mathbf{A} \neq 0$ ，波函数  $\psi_0 \rightarrow \psi$ 。通常  $\mathbf{J}$  中前后两项都有贡献。有 Meissner 效应时， $\mathbf{J} = -|\psi|^2 e^2 \mathbf{A} / m$ ，即第一项是零，也就是说  $\psi \simeq \psi_0$ 。☞ 波函数“刚性”

$$|\psi\rangle = |\psi_0\rangle + \sum_n \frac{\langle \psi_n | \mathcal{H}_A | \psi_0 \rangle}{E_n - E_0} |\psi_n\rangle \simeq |\psi_0\rangle$$

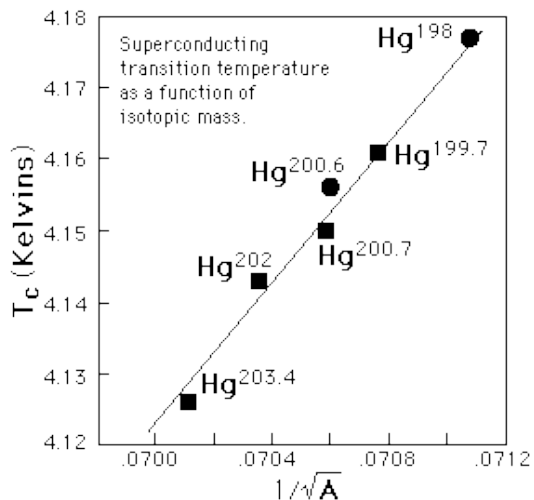
☞ 存在能隙  $E_n - E_0 = \Delta > 0$ 。

## 热容：超导能隙存在的间接证据



$$C_s/C_n \sim (\Delta/k_B T)^2 e^{-\Delta/k_B T}$$

# 同位素效应



# 超导微观机制：Bardeen-Cooper-Schrieffer 理论

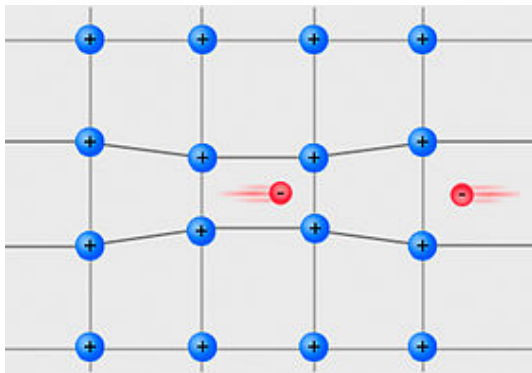
- 声子中介的吸引作用
- Fermi 面存在导致电子成对：Cooper pair
- BCS 基态波函数
- 激发态能谱

John Bardeen 获得两次 Nobel 物理学奖：1956 年和 William Shockley 一起因晶体管；1972 年因 BCS 理论。1956 年在他去领 Nobel 奖的时候，做出了 BCS 理论。

Leon Cooper 后来转行研究生物物理，和 Elie Bi-  
enenstock 以及 Paul Munro 一起得到一个关于视觉  
皮层的学习理论：BCM 理论。

John Robert Schrieffer 在 2005 年时，因开车时睡着  
撞死一人、撞伤七人，加上无证开车（之前已经有  
九次超速罚单），被判刑两年。

## 声子中介的吸引作用



电子路过吸引离子实，造成局部正电荷过剩，离子实经过  $T_D = 2\pi/\omega_D$  时间才恢复平衡，在此期间会吸引其它电子

☞ 电子间有效吸引作用

作用距离  $\sim$  形成 Cooper 对的电子距离  $l \sim v_F T_D \sim 10^{-7} \text{m}$

离子实位移距离:  $\delta = \frac{F}{M} \tau^2 = \frac{e^2}{M \epsilon_0 \epsilon a^2} (a/v_F)^2$

作用强度:  $V' \delta(l/a) \propto \frac{1}{M \omega_D a} \propto \frac{1}{\sqrt{M} a}$  ☞ 压强、同位素效应

## Cooper 对: Cooper 不稳定

假设相互作用为  $U(\mathbf{r}_1 - \mathbf{r}_2)$ , 波函数空间部分

$$\left[ -\frac{\hbar^2 \nabla_{\mathbf{r}_1}^2}{2m_e} - \frac{\hbar^2 \nabla_{\mathbf{r}_2}^2}{2m_e} + U(\mathbf{r}_1 - \mathbf{r}_2) \right] \psi(\mathbf{r}_1, \mathbf{r}_2) = \mathcal{E} \psi(\mathbf{r}_1, \mathbf{r}_2)$$

$$\psi(\mathbf{r}_1, \mathbf{r}_2) = e^{i\mathbf{q} \cdot \mathbf{R}} \psi(\mathbf{r}) \quad \mathbf{R} = \frac{\mathbf{r}_1 + \mathbf{r}_2}{2}, \mathbf{r} = \mathbf{r}_1 - \mathbf{r}_2$$

$$\left[ -\frac{\hbar^2 \nabla_{\mathbf{r}}^2}{2\mu} + U(\mathbf{r}) \right] \psi(\mathbf{r}) = \left[ \mathcal{E} - \frac{\hbar^2 \mathbf{q}^2}{2M} \right] \psi(\mathbf{r})$$

$$\psi(\mathbf{r}) = \sum_{|\mathbf{k}| > k_F} C_{\mathbf{k}} e^{i\mathbf{k} \cdot \mathbf{r}} \quad \Leftrightarrow \boxed{\mathbf{k} + \frac{\mathbf{q}}{2} \text{ 和 } -\mathbf{k} + \frac{\mathbf{q}}{2} \text{ 电子配对}}$$

$$\Leftrightarrow \psi(\mathbf{r}_1, \mathbf{r}_2) = \sum_{|\mathbf{k}| > k_F} C_{\mathbf{k}} e^{i(\mathbf{k} + \mathbf{q}/2) \cdot \mathbf{r}_1} e^{i(-\mathbf{k} + \mathbf{q}/2) \cdot \mathbf{r}_2}$$

$$2\mathcal{E}_{\mathbf{k}} C_{\mathbf{k}} + \sum_{|\mathbf{k}'| > k_F} U_{\mathbf{k}, \mathbf{k}'} C_{\mathbf{k}'} = \mathcal{E} C_{\mathbf{k}} \quad \boxed{\mathbf{q} = 0, \mu = m_e/2}$$



## Cooper 对: Cooper 不稳定

相互作用  $U$  非常复杂, Cooper 做了极大的简化, 假设  $\mathbf{k}$  和  $\mathbf{k}'$  都在球壳  $|\varepsilon_{\mathbf{k}/\mathbf{k}'} - \varepsilon_F| \leq \hbar\omega_D$  内时,  $U_{\mathbf{k},\mathbf{k}'} \equiv -U_0$ , 其它时候为零。

$$(2\varepsilon_k - \varepsilon)C_{\mathbf{k}} = U_0 \sum'_{\mathbf{k}'} C_{\mathbf{k}'}$$

平凡解: Fermi 球外两个动量为  $\mathbf{k}$  和  $-\mathbf{k}$  的电子,  
 $\varepsilon = 2\varepsilon_k$ ,  $C_{\mathbf{k}'} = (\delta_{\mathbf{k}',\mathbf{k}} - \delta_{\mathbf{k}',-\mathbf{k}})/\sqrt{2}$

非平凡解:  $\varepsilon - 2\varepsilon_k \neq 0$ ,

$$\sum'_{\mathbf{k}} C_{\mathbf{k}} = \sum'_{\mathbf{k}} \frac{U_0}{\varepsilon - 2\varepsilon_k} \sum'_{\mathbf{k}'} C_{\mathbf{k}'}$$
$$1 = \sum'_{\mathbf{k}} \frac{U_0}{\varepsilon - 2\varepsilon_k} = \int_{\varepsilon_F}^{\varepsilon_F + \hbar\omega_D} g(\varepsilon) \frac{U_0}{\varepsilon - 2\varepsilon} d\varepsilon$$

## Cooper 对: Cooper 不稳定

Cooper 束缚能

$$1 \simeq \frac{g(\varepsilon_F)U_0}{2} \ln \frac{2\varepsilon_F + 2\hbar\omega_D - \mathcal{E}}{2\varepsilon_F - \mathcal{E}} \quad g_0 = g(\varepsilon_F)$$

$$\mathcal{E} = 2\varepsilon_F - \frac{2\hbar\omega_D}{e^{2/(g_0U_0)} - 1} \simeq 2\varepsilon_F - 2\hbar\omega_D e^{-2/(g_0U_0)}$$

$$\Delta_0 = 2\hbar\omega_D e^{-2/(g_0U_0)}$$

Cooper 束缚能

$$C_{\mathbf{k}} = \frac{U_0}{2\varepsilon_{\mathbf{k}} - \mathcal{E}} \sum'_{\mathbf{k}'} C_{\mathbf{k}'}$$
$$= C_{|\mathbf{k}|} \quad \text{各向同性}$$

轨道波函数是对称的  $\Rightarrow$  自旋波函数反对称  
 $\Rightarrow \mathbf{k} \uparrow$  和  $-\mathbf{k} \downarrow$  电子配对

## Cooper 对: Cooper 不稳定

- 排斥势: Fermi 液体理论  $\rightarrow$  稳定的 Fermi 面 + 无能隙激发  
 $\Delta\varepsilon = -\varepsilon_1 (< \varepsilon_F) + \varepsilon_2 (> \varepsilon_F) = (\varepsilon_F - \varepsilon_1) + (\varepsilon_2 - \varepsilon_F) > 0$
- 在自由的三维系统中要形成束缚态需要强的吸引势  
 $\sqrt{2m|V_0|/\hbar^2}R > \pi$
- 在有 Fermi 海时, 无论多弱的吸引作用都会形成束缚态  
Pairing between  $|\mathbf{k} \uparrow\rangle$  and  $|\mathbf{-k} \downarrow\rangle$ , ( $\varepsilon_{\mathbf{k}} \geq \varepsilon_F$ )

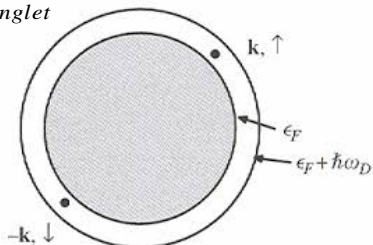
$$\phi(1, 2) = \sum_{\mathbf{k}} c_{\mathbf{k}} e^{i\mathbf{k}(\mathbf{r}_1 - \mathbf{r}_2)} \chi_{singlet}$$

$$\varepsilon = 2\varepsilon_F - \Delta_0$$

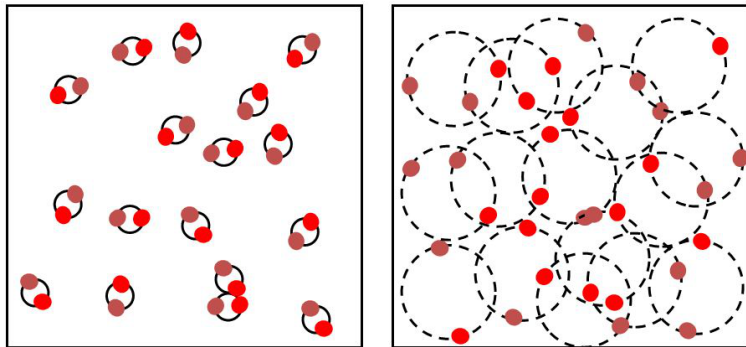
$$\Delta_0 = 2\hbar\omega_D e^{-2/(g_0 U_0)}$$

动能越低越容易形成束缚态,  
Fermi 海存在使得电子动能增加。  
为什么有 Fermi 海的时候  
反而会形成 Cooper 对?

吸引势和束缚能不成简单关系, 不能用简单的微扰论。  
在动量空间中的吸引作用, 电子约束在 Fermi 面附近:  
实空间三维吸引势  $\Rightarrow$  动量空间二维吸引势。



## Cooper 对



- 由于吸引势，自由电子基态（即费米球）是不稳定的，需要重新求解系统基态
- 成对电子之间的距离很大  $0.1 - 1 \mu\text{m}$
- $10^{6-9}$  个电子对纠缠在一起，相互作用？

# BCS 基态波函数

- S 态 Cooper 对波函数

$$\phi(1, 2) = \sum_{\mathbf{k}} c_{\mathbf{k}} e^{i\mathbf{k}(\mathbf{r}_1 - \mathbf{r}_2)} \chi_{singlet}(s_1, s_2)$$

- 所有电子成对：无相互作用的 Cooper 对

$$\Psi(1, 2, 3, 4, \dots) = \frac{1}{C} \sum_P (-1)^P \phi(1, 2) \phi(3, 4) \dots$$

- 凝聚能

$$\Delta E = E_{\text{BCS}} - E_{\text{Fermi Sea}} = -\frac{1}{2} g_0 \Delta_0^2$$

- 单粒子激发态能谱

$$E_k = \sqrt{(\varepsilon_k - \varepsilon_F)^2 + \Delta_0^2}$$

- 考虑相互作用后

所有这些 Cooper 对整体运动，具有共同相位，形成一个宏观量子力学系统

# BCS 理论能够解决的问题

- 临界温度

$$\frac{\Delta_0}{k_B T_c} = 1.76$$

- 超导能隙和温度的关系

$$\frac{\Delta(T)}{\Delta_0} \propto (1 - T/T_c)^{1/2}$$

- 临界磁场

$$H_c(T)/H_c(0) = 1 - (T/T_c)^2$$

- 超导体热容

$$c_s/c_n = 1.34(\Delta_0/k_B T)^2 e^{-\Delta_0/k_B T}$$

- 唯一不能解释的是零电阻

- 电阻起源：运动的电子受到散射，失去动量
- 超导能隙能阻止 Cooper 对解体；但不能解释有质心运动的 Cooper 对不受散射。
- Cooper 对之间的相互作用 → 整体运动的宏观量子力学系统 → 不受散射

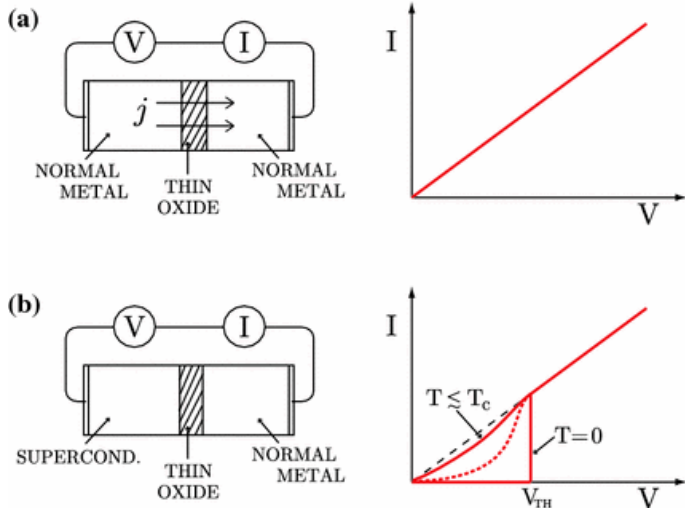
# 宏观量子态不受散射

Schriffer 的比方:

- 一个人从山上滑雪下来，容易受到地面不平整影响，从而失去平衡而摔跤。
- 两个人成对（Cooper 对）从山上滑雪下来，即使两个人手牵手，也会一起摔跤。因此电子形成 Cooper 对并不能解释零电阻现象。
- 只有很多很多人手拉手一起滑下来才不容易受到地面影响。因为即使一两个人失去平衡，旁边的许许多多人都会把他们拉住，不让他们摔跤。
- 同样，由于相互作用导致许多 Cooper 对形成一个宏观量子力学系统不会受到局部散射的影响。
- 宏观量子力学体系：熵 = 0
  - Seebeck 系数 = 0
  - 电流不导热，因此热导率降低

# 更多支持 BCS 的证据

- 超导体-绝缘体-正常金属结构的隧穿电流

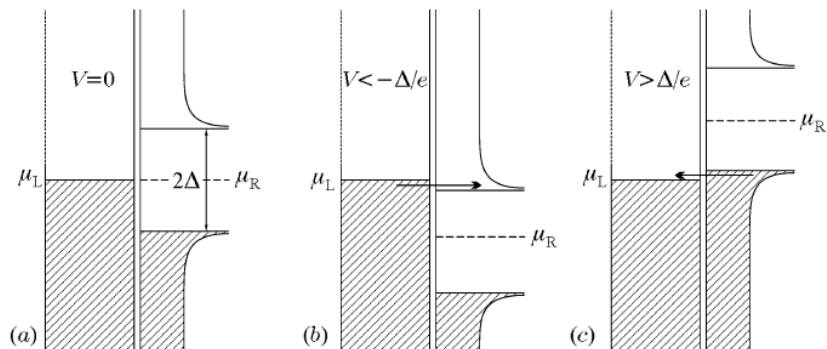


Quinn, Fig 15.6



# 更多支持 BCS 的证据

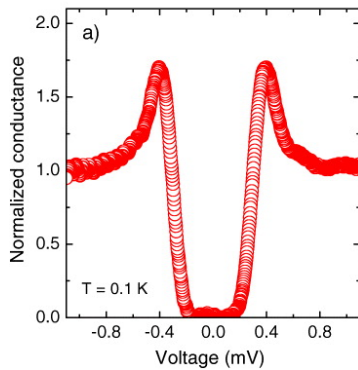
- 超导体-绝缘体-正常金属结构的隧穿电流



Sólyom, Fig 34.18

## 更多支持 BCS 的证据

- 微波、红外吸收谱
- 核磁共振
- 声波损耗
- STM



# Beyond original BCS theory

- 非  $s$  波超导/超流配对

- Leggett 发现  $^3\text{He}$  超流配对: p-wave BCS  
 $V(|\mathbf{k} - \mathbf{k}'|) = V(\cos \theta_{\mathbf{k}\mathbf{k}'}) = \sum_{l=0}^{\infty} V_l P_l(\cos \theta_{\mathbf{k}\mathbf{k}'}),$   
if  $V_l < 0 \rightarrow l$ -wave BCS

两粒子即使总体上是排斥的, 如果在动量空间相互作用随角度变化很大也有可能形成 Cooper 对

- 高温超导:  $d$ -wave ?
- 拓扑超导体

- 非超导体中的 BCS 机制

- 重原子核  
由偶数个质子和偶数个中子形成的原子核激发态和奇数质子/中子的激发态不同, 存在一个能隙。
- 中子星
- 夸克物质, 例如重量级中子星
- 冷原子体系

## Ginzburg-Landau 理论

- 在 BCS 之前, Ginzburg 和 Landau 利用 Landau 二级相变理论提出超导电性的唯象理论
- 复序参量  $\Psi(\mathbf{r}, t)$

Gor'kov: Cooper 对的质心波函数

$$\begin{aligned} F_s(\mathbf{r}, t) &= \alpha |\Psi|^2 + \frac{\beta}{2} |\Psi|^4 + \frac{1}{2m^*} |(-i\hbar\nabla + e^* \mathbf{A})\Psi|^2 + \frac{B^2(\mathbf{r}, t)}{2\mu_0} \\ &= a(T - T_c) |\Psi|^2 + \frac{b}{2} |\Psi|^4 + \frac{1}{2m^*} |(-i\hbar\nabla + e^* \mathbf{A})\Psi|^2 + \frac{B^2(\mathbf{r}, t)}{2\mu_0} \end{aligned}$$

$$\begin{aligned} \mathbf{J}_s &= \frac{-e^*}{2m^*} \{ [(-i\hbar\nabla + e^* \mathbf{A})\Psi]^* \Psi + \Psi^* (-i\hbar\nabla + e^* \mathbf{A})\Psi \} \\ &= -\frac{ie^*\hbar}{2m^*} [\Psi^* \nabla \Psi - (\nabla \Psi^*) \Psi] - \frac{e^{*2}}{m^*} |\Psi|^2 \mathbf{A} \end{aligned}$$

规范不变:  $\mathbf{A} \rightarrow \mathbf{A} + e^* \nabla \Lambda$ ,  $\Psi \rightarrow e^{i\Lambda/\hbar} \Psi$ ,  $F \rightarrow F$ ,  $\mathbf{J}_s \rightarrow \mathbf{J}_s$

$T > T_c$ ,  $\Psi = 0$ ,  $F_s(\mathbf{r}, t) = B^2/(2\mu_0)$

→ 和真空一样, 无质量的电磁波

规范对称自发破缺  $\rightarrow$  Meissener 效应:

Anderson-Higgs mechanics

$$T < T_c \quad \Psi_0 = \sqrt{a(T_c - T)/b} \quad \text{规范对称破缺}$$

$$\Psi = [\Psi_0 + \psi] e^{i\phi}$$

$$F = a(T - T_c)|\Psi_0|^2 + \frac{b}{2}|\Psi_0|^4 + \frac{B^2}{2\mu_0} + \frac{1}{2m^*}(\hbar\nabla\phi + e^*\mathbf{A})^2|\Psi_0|^2 + \dots$$

• 无电磁场时的无能隙激发: Nambu-Goldstone mode

$$\frac{\hbar^2|\Psi_0|^2}{2m^*}(\nabla\phi)^2 \rightarrow \varepsilon_k = \frac{\hbar^2|\Psi_0|^2 k^2}{2m^*}$$

规范对称自发破缺  $\rightarrow$  Meissener 效应:

Anderson-Higgs mechanics

$$T < T_c \quad \Psi_0 = \sqrt{a(T_c - T)/b} \quad \text{规范对称破缺}$$

$$\Psi = [\Psi_0 + \psi]e^{i\phi}$$

$$F = a(T - T_c)|\Psi_0|^2 + \frac{b}{2}|\Psi_0|^4 + \frac{B^2}{2\mu_0} + \frac{1}{2m^*}(\hbar\nabla\phi + e^*\mathbf{A})^2|\Psi_0|^2 + \dots$$

- 无电磁场时的无能隙激发: Nambu-Goldstone mode
- 无能隙激发拯救了规范不变

$$\mathbf{J} = -\frac{|\Psi_0|^2}{m^*}(\hbar\nabla\phi + e^*\mathbf{A})$$

规范对称自发破缺  $\rightarrow$  Meissner 效应:

Anderson-Higgs mechanics

$$T < T_c \quad \Psi_0 = \sqrt{a(T_c - T)/b} \quad \text{规范对称破缺}$$

$$\Psi = [\Psi_0 + \psi] e^{i\phi}$$

$$F = a(T - T_c)|\Psi_0|^2 + \frac{b}{2}|\Psi_0|^4 + \frac{B^2}{2\mu_0} + \frac{1}{2m^*}(\hbar\nabla\phi + e^*\mathbf{A})^2|\Psi_0|^2 + \dots$$

- 无电磁场时的无能隙激发: Nambu-Goldstone mode
- 无能隙激发拯救了规范不变
- Nambu-Goldstone 模和电磁场结合  $\rightarrow$  Meissner 效应  
规范场获得质量 Higgs boson

$$F = \frac{e^{*2}|\Psi_0|^2}{2m^*}\tilde{\mathbf{A}}^2 + \frac{(\nabla \times \tilde{\mathbf{A}})^2}{2\mu_0} + \dots$$

$$\nabla^2 \tilde{\mathbf{A}} - \frac{\partial^2 \tilde{\mathbf{A}}}{c^2 \partial t^2} = \frac{e^{*2}|\Psi_0|^2}{m^*}\tilde{\mathbf{A}} = \frac{1}{\Lambda_L^2}\tilde{\mathbf{A}}$$

## Higgs boson

- 1960 年 Nambu 指出超导体中存在无能隙激发，考虑这种激发之后就 BCS 理论就恢复规范不变
- 1962 年 Goldstone 证明只要发生连续对称自发破缺，都存在波色型的无能隙激发：Goldstone boson
- 1962 年 Anderson 指出无能隙的 Nambu-Goldstone 模可以和无能隙的规范场模结合，产生质量
- **Englert** & Brout (1964 年 8 月); **Higgs** (1964 年 10 月); Guralnik, Hagen & Kibble (1964 年 11 月) 发现在相对论场中也会有同样的结果：Higgs boson

Stigler's Law of eponymy: "No scientific discovery is named after its original discoverer", an economic law discovered by Merton and many others.



## 更多的自发对称破缺

- Weinberg 和 Salam 发现弱电自发对称破缺机制
- Weinberg 发现费米子也可以通过自发对称破缺获得质量
- 标准模型
- 暗物质/暗能量可能是对称破缺的结果

# 磁通量子化

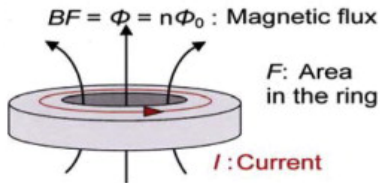
$$\Psi(\mathbf{r}) = \Psi_0 e^{i\phi(\mathbf{r})}$$

$$0 = \oint \mathbf{J}_s \cdot d\mathbf{l} = - \oint \Psi_0^2 \left( \frac{2e^2}{m} \mathbf{A} + \frac{e\hbar}{m} \nabla\phi \right) \cdot d\mathbf{l}$$

$$= -\Psi_0^2 \left\{ \frac{2e^2}{m} \int \nabla \times \mathbf{A} (= \mathbf{B}) \cdot d\mathbf{F} + \frac{e\hbar}{m} [\phi(\mathbf{r}^+) - \phi(\mathbf{r}^-)] \right\}$$

$$= -\Psi_0^2 \left[ \frac{2e^2}{m} \Phi + \frac{2n\pi e\hbar}{m} \right]$$

$$\Phi = -\frac{nh}{2e} = -n\Phi_0$$

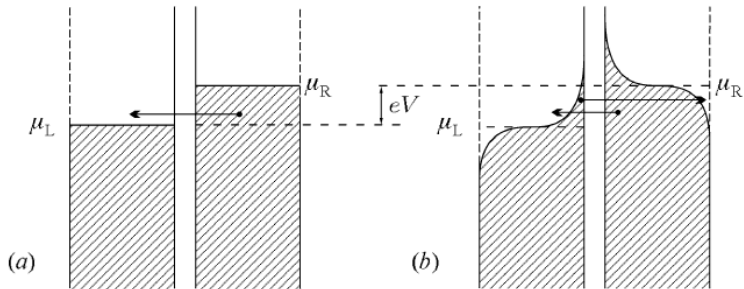


磁通量子化:  $\Phi_0 = BF = h/(2e) \approx 2.068 \times 10^{-15}$  Wb

# 超导结

正常金属—绝缘体—正常金属

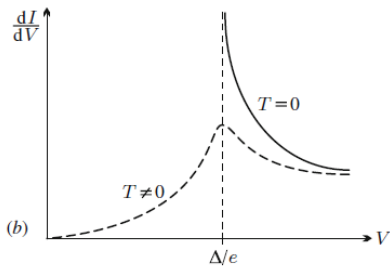
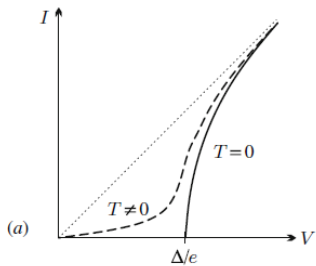
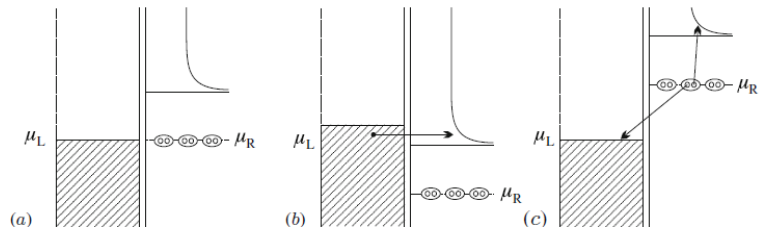
$$I \propto V$$



Sólyom, Fig 34.15

# 超导结

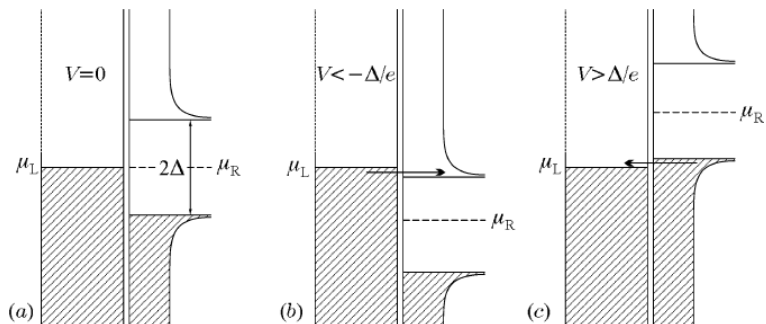
正常金属—绝缘体—超导



Sólyom, Fig 34.16-18

# 超导结

正常金属—绝缘体—超导



Sólyom, Fig 34.16-18

# Josephson 效应

超导—绝缘体—超导结构

$$\Psi_1 = \sqrt{\rho_1} e^{i\phi_1} - \Psi - \Psi_2 = \sqrt{\rho_2} e^{i\phi_2}$$

- 直流 Josephson 效应

$$I = I_c \sin(\phi_1 - \phi_2)$$

- 交流 Josephson 效应

$$I(t) = I_c \sin(\phi(t))$$

$$\phi(t) = \phi_0 + a \sin(2eUt/\hbar)$$

Josephson 效应的“推导”

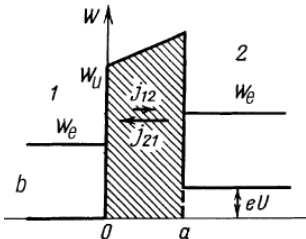
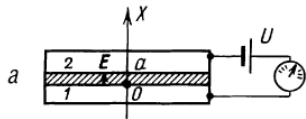
$$i\hbar\partial_t \Psi_1 = \mu_1 \boxed{=eU} \Psi_1 + T\Psi_2$$

$$\frac{i}{2}\dot{\rho}_1 - \rho_1\dot{\phi}_1 = \frac{eV}{\hbar}\rho_1 + \frac{T}{\hbar}\sqrt{\rho_1\rho_2}e^{i(\phi_2-\phi_1)}$$

$$i\hbar\partial_t \Psi_2 = \mu_2 \boxed{=-eU} \Psi_2 + T\Psi_1$$

$$\frac{i}{2}\dot{\rho}_2 - \rho_2\dot{\phi}_2 = -\frac{eV}{\hbar}\rho_2 + \frac{T}{\hbar}\sqrt{\rho_1\rho_2}e^{i(\phi_1-\phi_2)}$$

$$\dot{\phi} = \frac{2eV}{\hbar} - \frac{T}{\hbar} \left[ \sqrt{\frac{\rho_1}{\rho_2}} - \sqrt{\frac{\rho_2}{\rho_1}} \right] \cos \phi$$



$$\phi(t) = \phi_1(t) - \phi_2(t)$$

$$I = \dot{\rho}_1 = -\dot{\rho}_2$$

$$= \frac{2T}{\hbar} \sqrt{\rho_1\rho_2} \sin \phi(t)$$

直流 Josephson 效应:  $\rho_1 = \rho_2$ ,  
 $\dot{\phi} = 0$ ,  $I(t) = 2T/\hbar\rho_1 \sin \phi(0)$

# Josephson 效应

超导—绝缘体—超导结构

$$\Psi_1 = \sqrt{\rho_1} e^{i\phi_1} - \Psi - \Psi_2 = \sqrt{\rho_2} e^{i\phi_2}$$

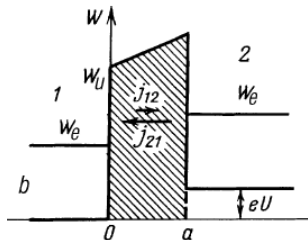
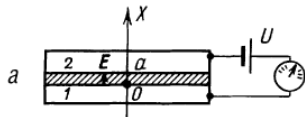
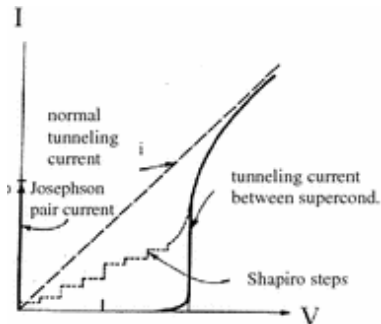
- 直流 Josephson 效应

$$I = I_c \sin(\phi_1 - \phi_2)$$

- 交流 Josephson 效应

$$I(t) = I_c \sin(\phi(t))$$

$$\phi(t) = \phi_0 + a \sin(2eUt/\hbar)$$



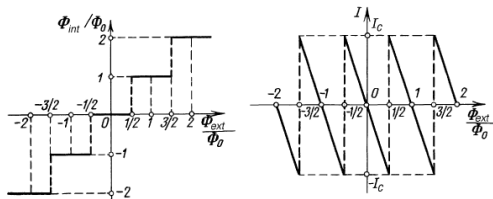
AC Josephson 效应: Cooper 对从高能电极隧穿到低能电极。由于超导, 额外能量无法耗散, 只能通过发射电磁波去除

$$\hbar\omega = 2eU$$

☞ 测量微波的重要手段

# SQUID

SQUID (Superconducting QUantum Interference Device)

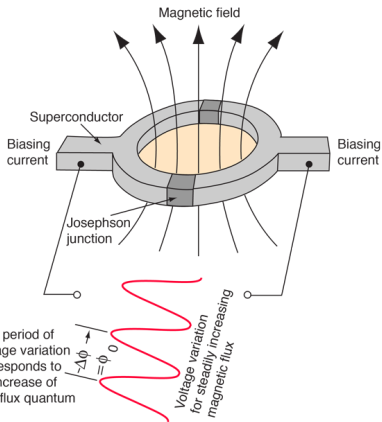


$\Phi_0 = 2.068 \times 10^{-15}$  Wb,  
磁场测量精度可达  $\Delta B \sim 10^{-15}$  T。

☞ 高精度磁场测量

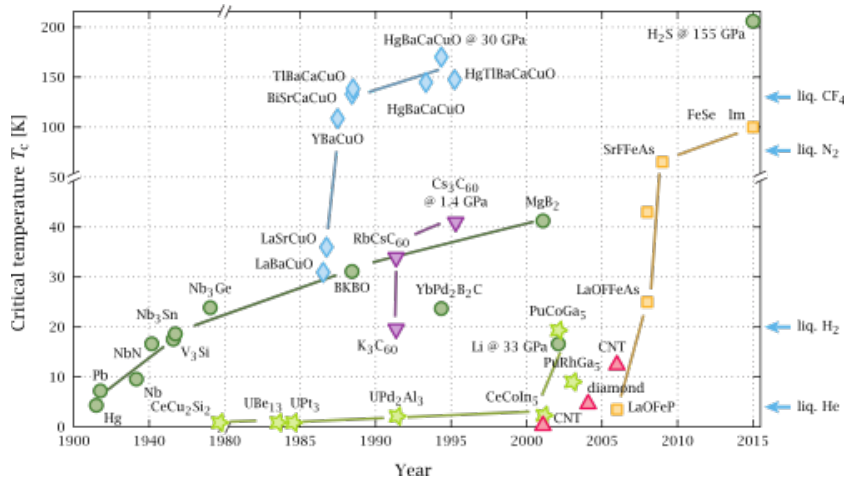
☞ 医学应用

例心跳导致磁场变化  $\sim 10^{-13}$  T





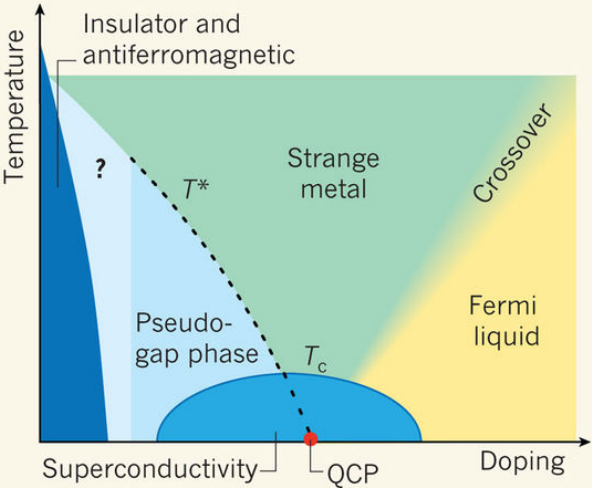
# 超导里程碑



# 高温超导体

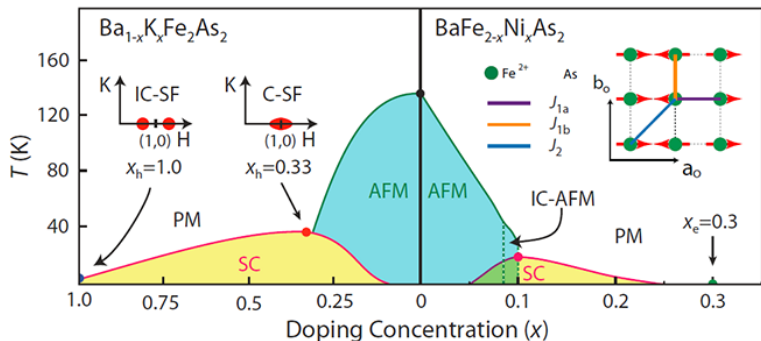
- 超导转变温度  $T_c$  都很低，最多不过 23 K。
- McMillan 预言由电-声子相互作用导致的  $T_c$  不能超过 40 K  
☞ McMillan 极限
- Little 等人预言陶瓷里电子-极化子相互作用同样可以导致超导。并且电子-极化子相互作用比较强，可以突破 McMillan 极限。
- 1970 年 Müller 发现陶瓷可以发生超导 ( $T_c \sim 1\text{K}$ )，且可以通过掺杂成倍地提高  $T_c$
- 1980 年代，Müller 和 Bednorz 持续研究陶瓷超导体，最终在 1986 年发现 LaBaCuO 里  $T_c$  可以达到 35 K，是当时  $T_c$  最高的材料
- 1987 年，Tanaka 和 Chu (朱经武) 分别证实了 Müller 和 Bednorz 的结果，并进一步发现 YBaCuO 的  $T_c$  可以高达 90 K

# 高温超导体





# 铁基超导体



- $T_c$  较高 ( $> 40$  K, 所谓的 McMillan 极限)
- 磁性和超导共存
- 传统 BCS: 自旋波传导的吸引作用?

# 超导的应用：From BCS to LHC

- 超导物理中的革命思想输出
  - Cooper 配对
  - 自发对称破缺 + 规范场：Higgs boson
- 应用
  - 无损耗能量传送
  - 高速电子器件和量子计算
  - 高精度磁场探测（SQUID）
    - 排除地雷
  - 强磁场
    - 磁悬浮列车
    - 核聚变中磁约束
    - 磁共振成像（MRI）
    - LHC
      - The idea of Higgs mode and the detection of Higgs boson
    - E-bombs
      - 超强电磁脉冲，2003 年用来攻击伊拉克的广播系统

Since 'tis Nature's Law to Change,  
Constancy Alone is Strange.

“A Dialogue between Strephon and Daphne”  
John Wilmot, 2nd Earl of Rochester